

Критический ток туннельных SFIFS-контактов: эффекты спин-орбитального рассеяния

© В.Н. Криворучко, Р.В. Петрюк

Донецкий физико-технический институт Национальной академии наук Украины,
83114 Донецк, Украина

E-mail: krivoruc@krivoruc.fti.ac.donetsk.ua

(Поступила в Редакцию 22 июня 2004 г.

В окончательной редакции 10 ноября 2004 г.)

Рассмотрен сверхпроводящий эффект близости между массивным сверхпроводником (S) и тонким слоем нормального ферромагнитного металла (F), содержащего центры спин-орбитального рассеяния. В рамках микроскопической модели сверхпроводящего состояния „грязных“ металлов аналитически рассмотрены пределы слабого и сильного эффекта близости в SF-бислое. Вычислен критический ток туннельного SFIFS-перехода (I — изолятор), берега которого образованы близостными SF-слоями. Исследовано влияние спин-орбитального рассеяния в F-слоях на туннельный ток при параллельной и антипараллельной относительной ориентации намагниченности F-слоев. Показано, что амплитуда сверхтока SFIFS-контакта нетривиально зависит от интенсивности процессов рассеяния: спин-орбитальное рассеяние нелинейно подавляет эффекты обменного поля и при одной и той же концентрации центров рассеяния определяется сопротивлением SF-границы и величиной эффекта близости.

1. Введение

Эффектами близости называют явления, обусловленные „проникновением“ параметра порядка (какого-либо состояния) от одного материала в другой, который данным типом порядка не обладает, из-за непосредственного контакта материалов друг с другом. Примером эффекта близости является проникновение сверхпроводящих корреляций в несверхпроводящий (N) металл. Сверхпроводящий эффект близости для немагнитного N -металла, находящегося в контакте со сверхпроводником (S), в настоящее время детально исследован [1–4].

В случае SN-структур мы имеем дело с одним типом порядка — сверхпроводимостью. Физика явления эффекта близости становится значительно богаче, когда несверхпроводящий металл является ферромагнетиком (F). В SF-структуре имеются уже два конкурирующих состояния — сверхпроводящее и ферромагнитное. В результате в сверхпроводнике наводятся магнитные корреляции [5–7], а наведенное сверхпроводящее состояние F -металла качественно отличается от сверхпроводимости N -металла. Как известно, принципиальное различие между нормальными немагнитным и ферромагнитным металлами состоит в спиновой поляризации электронов проводимости в F-слое. Как и в SN-структурах, из-за эффекта близости с S-слоем сверхпроводящие корреляции наводятся в F-слое, однако обменная поляризация электронов на Ферми-поверхности изменяет условия куперовского спаривания. В F-слое куперовские пары формируются квазичастицами в состояниях $\{\mathbf{p} \uparrow, (-\mathbf{p} + \Delta\mathbf{p}) \downarrow\}$ и в состояниях $\{\mathbf{p} \downarrow, (-\mathbf{p} - \Delta\mathbf{p}) \uparrow\}$ с ненулевым суммарным импульсом пары (здесь $\Delta\mathbf{p} \sim H_{\text{ex}}/\hbar v_F$; H_{ex} — обменное поле в энергетических единицах; v_F — фермиевская скорость). Если спин-орбитальное рассеяние электронов достаточно мало, пары из различных спиновых подзон практически не перемешиваются. Таким образом, особенности

поведения SFS-переходов связаны с пространственными осцилляциями ($\sim \cos(x\Delta p)$) наведенного сверхпроводящего параметра порядка в F-слое [8–10].

Обзор современных работ по термодинамике SF-систем (в частности, диаграммы фазовых состояний сверхрешеток) можно найти в [11]. Что же касается транспортных свойств, то недавние экспериментальные исследования в этой области [12–18] позволили непосредственно наблюдать так называемую π -фазную сверхпроводимость. Такое сверхпроводящее состояние характеризуется спонтанным сдвигом на π разности сверхпроводящих фаз волновых функций конденсата на берегах SFS-перехода [8,9,19]. В частности, транспортные свойства туннельного контакта в π -состоянии можно описать, рассматривая джозефсоновское соотношение ток–фаза $J(\varphi) = I_C \sin(\varphi)$ с отрицательным значением амплитуды критического тока I_C .

Любопытно, что для SFIFS- и SFS-туннельных контактов (I — изолятор) теория [20–24] предсказывает возможность перехода в π -состояние даже для тонких F-слоев, т.е. при отсутствии осцилляций параметра порядка в F-слое. Более того, π -состояние реализуется при параллельной намагниченности слоев, а при их антипараллельной ориентации и низких температурах в определенном интервале значений обменного поля возможно даже усиление критического туннельного тока [21–23]. Физика явления в этом случае обусловлена наведением магнитных корреляций в S-слое и изменением фазы сверхпроводящего параметра порядка вблизи SF-границы.

Как уже отмечалось, переход в π -состояние слабых SFS-связей наблюдался несколькими экспериментальными группами [12–18]. Явление усиления джозефсоновского тока для SFIFS-контактов пока еще остается предсказанием теории, которая в свою очередь должна рассмотреть и более реалистичные модели. В частности,

критическую роль могут играть процессы рассеяния, не сохраняющие проекцию спина электрона (спин-флип процессы). Такие процессы могут быть индуцированы, например, спин-орбитальным взаимодействием с магнитными примесями; другим важным для тонких пленок источником спин-флип переходов является сильное электрическое поле, возникающее на границе контакта двух металлов [25]. Особая роль процессов с переворотом спина заключается в том, что спин электрона уже не сохраняется и за характерное время τ_{SO} меняет знак. С характерной частотой $1/\tau_{SO}$ меняется и знак эффективного обменного поля, действующего на куперовскую пару.

Эффекты спин-орбитального рассеяния обсуждались в работах [10,26,27], где исследовалось влияние этого рассеяния на температуру сверхпроводящего перехода SF-бислоя [10] и SF-сверхрешетки [26] и джозефсоновский ток SF-туннельных контактов [10,27]. В [10,26] рассматривалась область температур вблизи перехода в сверхпроводящее состояние T_C . В данной работе в рамках микроскопической теории эффекта близости для SF-бислоя исследовано влияние спин-орбитального рассеяния на сверхпроводящий эффект близости и транспортные характеристики SFIFS-контакта в области низких температур $T \ll T_C$. Рассмотрено произвольное состояние SF-границы и рассчитан критический ток SFIFS-контакта; для некоторых частных случаев получены аналитические выражения. Показано, что спин-орбитальное рассеяние нелинейно подавляет эффекты обменного поля и при одной и той же концентрации центров рассеяния определяется сопротивлением SF-границы и величиной эффекта близости. Предварительные результаты данных исследований опубликованы в [27].

Как известно, задачу о туннельных свойствах переходов, берега которых представляют собой близостные слои, следует решать в два этапа: сначала определяются сверхпроводящие характеристики бислоя, а затем находятся транспортные характеристики контакта. Сверхпроводящий эффект близости для SF-бислоя с учетом спин-орбитального рассеяния рассмотрен в разделе 2. В разделе 3 обсуждается влияние спин-орбитального рассеяния на критический ток SFIFS-контакта. В Приложении приведен краткий вывод уравнений Узалея для систем со спин-орбитальным рассеянием.

2. Модель контакта и эффект близости с учетом спин-орбитального рассеяния

Рассмотрим теоретически интересный и практически важный случай, когда и сверхпроводник, и ферромагнетик являются „грязными“ металлами, т.е. $\xi_{S,F} \gg l_{S,F}$. Пусть также для S-слоя выполнены условия $d_S \gg \xi_S$, а для F-слоя — условия $d_F \ll \min(\xi_F, \xi)$. Здесь $\xi_S = (D_S/2\pi T_C)^{1/2}$, $\xi = (D_F/2\pi T_C)^{1/2}$, $\xi_F = (D_F/2H_{ex})^{1/2}$ — длины когерентности S- и F-металлов, l_S и l_F — длины

свободного пробега электрона в них, d_S и d_F — толщины, а D_S и D_F — коэффициенты диффузии S- и F-металлов. Выбранные условия для толщин пленок позволяют пренебречь уменьшением критической температуры SF-бислоя по сравнению с критической температурой сверхпроводника. Будем рассматривать F-слой как однодоменную пленку с центрами спин-орбитального рассеяния, в то время как в S-слое такие центры отсутствуют.

Пусть область $x \geq 0$ занята S-металлом, а слой $-d_F \leq x < 0$ занят F-металлом, при этом поперечные размеры перехода много меньше джозефсоновской глубины проникновения, так что все величины зависят только от одной координаты x вдоль нормали к поверхности раздела материалов. При указанных нами предположениях сверхпроводящие свойства SF-бислоя описываются известными уравнениями Узалея [28,29] для нормальной (G) и аномальной (F) функций Грина. Удобно учесть явно нормировку функций $G^2 + F^2 = 1$ и, следуя [3], ввести модифицированную функцию Узалея Φ , определив ее соотношениями $G_{S\sigma} = \omega_\sigma / \sqrt{\omega_\sigma^2 + \Phi_{S\sigma} \tilde{\Phi}_{S\sigma}}$, $F_{S\sigma} = G_{S\sigma} \Phi_{S\sigma} / \omega_\sigma$. Здесь функция $\tilde{\Phi}$ в общем случае определяется условием $\tilde{\Phi}(\omega, H_{ex}) = \Phi^*(\omega, -H_{ex})$. Тогда для S-металла эти уравнения принимают вид

$$\Phi_{S\sigma} = \Delta_0 + \xi_S^2 \frac{\pi T_C}{\omega G_{S\sigma}} \partial_x (G_{S\sigma}^2 \partial_x \Phi_{S\sigma}). \quad (1)$$

Спиновые индексы σ принимают значения ± 1 ; $\partial_x \equiv d/dx$, а потенциал пар определяется из соотношения самосогласованности

$$\Delta_0 \ln \left(\frac{T}{T_C} \right) + 2\pi T \sum_{\sigma} \sum_{\omega > 0} \left(\frac{\Delta_0}{2} - \frac{G_{S\sigma} \Phi_{S\sigma}}{\omega} \right) = 0,$$

где $\omega \equiv \omega_n = \pi T(2n + 1)$ — мацубаровская частота. В отсутствие спин-флип процессов в S-металле спиновые подзоны $\sigma = \pm 1$ не связаны друг с другом. Это не так для F-металла, где мы предполагаем наличие центров спин-орбитального рассеяния. Модифицированные уравнения Узалея принимают теперь вид (см. (П9))

$$\begin{aligned} \Phi_{F\sigma} = & \xi^2 \frac{\pi T_C}{\omega_\sigma G_{F\sigma}} \partial_x (G_{F\sigma}^2 \partial_x \Phi_{F\sigma}) \\ & + \alpha_{SO} G_{F-\sigma} \left(\frac{\Phi_{F-\sigma}}{\omega_{-\sigma}} - \frac{\Phi_{F\sigma}}{\omega_\sigma} \right), \end{aligned} \quad (2)$$

и подзоны связаны. Здесь введены обозначения $\omega_\sigma = \omega + i\sigma H_{ex}$; $\alpha_{SO} = 2/3\tau_{SO}$; τ_{SO} — характерное время спин-орбитального рассеяния. Как обычно, предполагается, что для нормального F-металла затравочное значение параметра порядка $\Delta_F^0 = 0$, но $F_F \neq 0$ благодаря эффекту близости со сверхпроводником. Если процессы спин-орбитального рассеяния отсутствуют, подзоны со спином „вверх“ и со спином „вниз“ не смешиваются и выражение (2) сводится к обычному виду модифицированных уравнений Узалея для ферромагнитного металла [19,30].

Уравнения (1), (2) должны быть дополнены граничными условиями для функций Φ_S и Φ_F . В глубине S-слоя имеем

$$\Phi_S(\infty) = \Delta_S(\infty) = \Delta_0(T), \quad (3)$$

где $\Delta_0(T)$ — параметр порядка пространственно однородного сверхпроводника при температуре T в теории БКШ. На границе ферромагнетика с изолятором имеем $\partial_x \Phi_F(-d_F) = 0$. Предполагая, что спин-флип процессы непосредственно на SF-границе отсутствуют, граничные условия в этой области можно записать в виде [19,30]

$$\gamma \xi G_{F\sigma}^2 \partial_x \Phi_{F\sigma} / \omega_\sigma = \xi_S G_{S\sigma}^2 \partial_x \Phi_{S\sigma} / \omega, \quad (4)$$

$$\gamma_{BF} \xi G_{F\sigma} \partial_x \Phi_{F\sigma} = \tilde{\omega}_\sigma G_{S\sigma} (\Phi_{S\sigma} / \omega - \Phi_{F\sigma} / \omega_\sigma). \quad (5)$$

Здесь $\gamma = \rho_S \xi_S / \rho \xi$ — параметр эффекта близости, $\gamma_{BF} = R_B / \rho \xi$ — параметр прозрачности границы, ρ_S и ρ — удельные сопротивления S- и F-металлов, R_B — произведение сопротивления границы в нормальном состоянии на ее площадь. Соотношения (4) учитывают непрерывность сверхтока, протекающего через SF-границу при произвольной прозрачности последней, в то время как условия (5) определяют качество электрического контакта. Дополнительным физическим условием справедливости этих соотношений является предположение, что обменное расщепление подзон $p_F^\pm = \sqrt{2m\sqrt{E_F + H_{ex}}}$ существенно меньше энергии Ферми E_F , т.е. $H_{ex} \ll E_F$. В этом случае различием плотностей состояний и прозрачностей SF-границы для электронов с противоположными ориентациями спина можно пренебречь и считать параметры границы (γ и γ_{BF}) одинаковыми для обеих спиновых подзон.

По аналогии со случаем SN-сандвича [3] из-за малой толщины F-слоя задача об эффекте близости может быть сведена к краевой задаче для S-слоя. Полагая, что $(d_F/\xi)^2 \ll \alpha_{SO} \ll d_F/\xi \ll 1$, ищем решение дифференциального уравнения (2) с помощью итераций по параметрам $d_F \xi$ и α_{SO} . Учитывая, что $\partial_x \Phi_F(-d_F) = 0$, в первом нетривиальном приближении находим

$$\partial_x \Phi_{F\sigma}(x) = \frac{\omega_\sigma}{\xi^2 \pi T_C G_{F\sigma}(0)} \{ \Phi_{F\sigma}(0) - \Xi_{F\sigma}(\alpha_{SO}) \} (x + d_F), \quad (6)$$

где

$$\Xi_{F\sigma}(\alpha_{SO}) = \alpha_{SO} G_{F-\sigma} \left\{ \frac{\Phi_{F-\sigma}(0)}{\omega_{-\sigma}} - \frac{\Phi_{F\sigma}(0)}{\omega_\sigma} \right\}.$$

Определяя из (6) значение $\partial_x \Phi_{F\sigma}(x=0)$ и подставляя его в (4) и (5), получим граничные условия для функций $\Phi_{S\sigma}$ в виде

$$\xi_S G_{S\sigma}^2 \partial_x \Phi_{S\sigma} \Big|_{x=0} = \gamma_M G_{F\sigma} \{ \Phi_{F\sigma} - \Xi_{F\sigma}(\alpha_{SO}) \} \Big|_{x=0}, \quad (7)$$

$$G_{S\sigma} (\Phi_{S\sigma} - \omega \Phi_{F\sigma} / \omega_\sigma) \Big|_{x=0} = \gamma_B \omega \{ \Phi_{F\sigma} - \Xi_{F\sigma}(\alpha_{SO}) \} \Big|_{x=0}. \quad (8)$$

Здесь $\gamma_M = \gamma d_F / \xi \pi T_C$, $\gamma_B = \gamma_{BF} d_F / \xi \pi T_C$. Вычисляя далее явный вид $\Xi_{F\sigma}(\alpha_{SO})$, воспользуемся значениями функций

$G_{F\sigma}(0)$ и $\Phi_{F\sigma}(0)$ при $\tau_{SO} \rightarrow \infty$, так как это слагаемое уже $\sim \alpha_{SO}$. Используя результаты [30], для $\Phi_{F\sigma}(0)$ имеем $\Phi_{F\sigma}(0) = \frac{G_{S\sigma} \Phi_{S\sigma} \omega_\sigma}{\omega(G_{S\sigma} + \gamma_B \omega_\sigma)} \Big|_{x=0}$, что дает

$$\Xi_{F\sigma}(\alpha_{SO}) \Big|_{x=0} \approx \frac{2i \alpha_{SO} \sigma H_{ex} \gamma_B G_S \Phi_S}{\omega(G_S + \gamma_B \omega_\sigma) A_{-\sigma}} \Big|_{x=0}, \quad (9)$$

где $A_\sigma = \sqrt{1 + 2\gamma_B G_S \omega_\sigma + \gamma_B^2 \omega_\sigma^2}$. Подставляя (9) в граничные условия (8), получим уравнение, определяющее неизвестное значение функций $\Phi_{F\sigma}$ на границе через значение функции $\Phi_{S\sigma}$ для S-слоя на этой границе,

$$\Phi_{F\sigma}(0) = \frac{G_{S\sigma} \Phi_{S\sigma} \omega_\sigma}{\omega(G_{S\sigma} + \gamma_B \omega_\sigma)} \left\{ 1 + \frac{2i \alpha_{SO} \sigma H_{ex} \gamma_B^2}{(G_S + \gamma_B \omega_\sigma) A_{-\sigma}} \right\} \Big|_{x=0}. \quad (10)$$

Граничные условия для функций $\Phi_{S\sigma}(x)$ находятся постановкой (10) в (7) и равны

$$\xi_S G_{S\sigma} \partial_x \Phi_{S\sigma} \Big|_{x=0} = \frac{\gamma_M \omega_\sigma \Phi_{S\sigma}}{A_\sigma} \times \left\{ 1 - \frac{2\alpha_{SO} \sigma i H_{ex} \gamma_B (1 + \gamma_B \omega_\sigma G_S)}{\omega_\sigma A_\sigma^2 A_{-\sigma}} \right\} \Big|_{x=0}. \quad (11)$$

В результате задача об эффекте близости массивного сверхпроводника с тонким слоем ферромагнитного металла со спин-орбитальным рассеянием свелась к решению дифференциального уравнения Узаледа для полуограниченного сверхпроводника с граничными условиями (3) и (11). Параметры γ_M и γ_B имеют конкретное физическое содержание [3,19]. γ_M есть эффективный параметр разрыва пар вблизи границы, значение которого определяется плотностью квазичастичных состояний в S- и F-металлах. Большая величина γ_M соответствует большой плотности состояний в F-металле. В этом случае на SF-границе сверхпроводящие корреляции быстро ослабевают. В обратном пределе ($\gamma_M \ll 1$) более сильным оказывается влияние S-металла и сверхпроводящие корреляции более медленно спадают в глубь F-металла. Параметр γ_B описывает эффективный потенциальный барьер на SF-границе: при $\gamma_B \ll 1$ S- и F-металлы находятся в хорошем электрическом контакте; обратный предел отвечает большому сопротивлению границы раздела.

В общем случае все уравнения для модифицированных функций $\Phi_{S\sigma}$ и $\Phi_{F\sigma}$ связаны через граничные условия и задача может быть решена только численными методами. Однако при слабом и сильном эффекте близости удается найти аналитические решения. Нас интересуют сверхпроводящий эффект близости и транспортные характеристики SFIFS-контакта в области низких температур $T \ll T_C$, при этом электрическая прозрачность SF-границы (т.е. значение параметра γ_B) может быть произвольной.

а) Сильный эффект близости. В пределе $\pi T_C \gamma_M \ll (1 + \pi T_C \gamma_B)$ в нулевом приближении по γ_M из (11) следует, что $\partial_x \Phi_{S\sigma}(0) = 0$, т.е. функции $\Phi_{S\sigma}(x)$

пространственно однородны: $\Phi_{S\sigma}(x) = \Delta_S(x) = \Delta_0$. В следующем приближении по γ_M , используя линеаризованное уравнение (1) для функции $\Phi_{S\sigma}(x)$ и учитывая граничные условия (3), получим общее решение в виде

$$\Phi_{S\sigma}(x) = \Delta_0 - C_0 \exp(-\beta x / \xi_S),$$

$$\beta = [(\omega^2 + \Delta_0^2)^{1/2} / \pi T_C]^{1/2}. \quad (12)$$

Подставляя это решение в граничные условия (11), определим коэффициент C_σ

$$C_\sigma = \Delta_0 \frac{\gamma_M \beta \omega_\sigma \pi T_C}{A_\sigma \omega + \gamma_M \beta \omega_\sigma \pi T_C} \times \left\{ 1 - i 2\sigma \alpha_{SO} \gamma_B H_{ex} \frac{(1 + \gamma_B \omega_\sigma \omega / \sqrt{\omega^2 + \Delta_0^2})}{A_\sigma A_{-\sigma} (A_\sigma \omega + \gamma_M \beta \omega_\sigma \pi T_C) \omega_\sigma} \right\}. \quad (13)$$

Как видно из полученных выражений, „магнетизм“ F-слоя проявляется в предэкспоненциальном множителе и приводит к тому, что в S-слое подзоны со спинами „вверх“ и „вниз“ теряют свою тождественность. При этом характерный масштаб подавления сверхпроводимости в S-слое из-за эффекта близости ($\sim \xi_S / \beta$) не зависит от H_{ex} . В пределе $\tau_{SO} \rightarrow \infty$ выражение (13) воспроизводит результаты [30] для SF-бислоя в отсутствие процессов рассеяния с переворотом спина. Подставляя значения функций $\Phi_{S\sigma}(x)$ (12) при $x = 0$ в соотношение (10), можно получить выражение для функций $\Phi_{F\sigma}(\omega, 0)$. Из-за громоздкости здесь их не приводим.

б) Слабый эффект близости. В пределе больших значений γ_M , точнее, при $\pi T_C \gamma_M \gg (1 + \pi T_C \gamma_B)$ для S-слоя имеем ($x < \xi_S$)

$$\Phi_{S\sigma}(0) = B(\gamma_B + 1/\tilde{\omega}_\sigma) / \gamma_M, \quad (14)$$

где для всех температур $T < T_C$ коэффициент $B \equiv B(T)$ с хорошей точностью может быть аппроксимирован выражением [31] $B(T) = 2T_C [1 - (T/T_C)^2]^{1/2} [\xi(3)]^{-1/2}$, $\xi(3)$ — ξ -функция Римана. Как и в предыдущем пределе, из-за эффекта близости магнитные корреляции F-слоя распространяются в S-слой и приводят к тому, что подзоны со спинами „вверх“ и „вниз“ теряют свою тождественность.

Для F-слоя модифицированная функция Узаледа сверхпроводящих корреляций равна

$$\Phi_{F\sigma}(0) = \frac{B}{\gamma_M \omega} \left(1 + 2\alpha_{SO} \sigma \frac{i\gamma_B^2 H_{ex}}{(1 + \gamma_B \omega)^2 + \gamma_B^2 H_{ex}^2} \right). \quad (15)$$

Таким образом, вследствие эффекта близости можно говорить о единстве сверхпроводящих и магнитных свойств SF-бислоя и рассматривать его как единую систему с сильными сверхпроводящими и магнитными корреляциями. Мы используем полученные результаты при исследовании влияния спин-орбитального рассеяния на стационарный эффект Джозефсона в туннельных структурах с близостными электродами.

3. Влияние спин-орбитального рассеяния на критический сверхток

Как уже отмечалось, вклад спин-орбитального рассеяния в джозефсоновский ток слабой SFS-связи вблизи температуры перехода в сверхпроводящее состояние обсуждался в работе [10]. Для низких температур влияние центров спин-орбитального рассеяния на транспортные характеристики SFIFS-контакта при сильном эффекте близости ($\gamma_M \ll 1$) рассматривалось нами в работе [27]. Здесь мы исследуем эффекты при произвольном состоянии SF-границы, сильном и слабом эффекте близости, а также приведем результаты для несимметричных SFINS-переходов.

Пусть оба электрода туннельного контакта представляют собой SF-сэндвич, а изолирующий слой обладает столь малой прозрачностью, что влиянием сверхтока на состояние электродов можно пренебречь. Выражение для критического тока симметричного SFIFS-туннельного контакта может быть тогда записано в виде

$$J_C = \frac{T}{T_C} \operatorname{Re} \sum_{\sigma, \omega > 0} F_{S\sigma}^* |L F_{S\sigma}|_R$$

$$= \frac{T}{T_C} \operatorname{Re} \sum_{\sigma, \omega > 0} \frac{G_{F\sigma}^* \Phi_{F\sigma}^*}{\omega_\sigma} \Big|_L \frac{G_{F\sigma} \Phi_{F\sigma}}{\omega_\sigma} \Big|_R.$$

Рассмотрим коллинеарные конфигурации магнитных моментов F-слоев.

а) Параллельная ориентация ферромагнитных слоев. В предельном случае значительного сопротивления SF-границы $\pi T_C \gamma_B > 1$ при $\gamma_B H_{ex} \gg 1$ и малом γ_M выражение для тока сводится к следующему:

$$J_C^{FM} \approx 2 \frac{T}{T_C} \times \sum_{\omega > 0} \frac{\omega^2 - H_{ex}^2 + 2\omega^2(3H_{ex}^2 - \omega^2) / \gamma_B \Omega (\omega^2 + H_{ex}^2)}{\gamma_B^2 (\omega^2 + H_{ex}^2)^2 \Omega^2} \times \left\{ \Delta_0^2 - 8\alpha_{SO} \gamma_B^2 \Omega^2 \frac{\omega H_{ex}^2}{\omega^2 + H_{ex}^2} \right\}, \quad (16)$$

где $\Omega = (\omega^2 + \Delta_0^2)^{1/2}$. Анализ выражения (16) показывает, что при малых обменных полях H_{ex} сверхток положителен, а при $H_{ex} \gg \omega \sim \pi T_C$ отрицателен. Другими словами, с ростом обменного поля направление тока в контакте меняется на противоположное: происходит так называемый переход от 0-фазной сверхпроводимости к π -фазной [22,23]. В нашем случае, когда толщина ферромагнитного слоя много меньше длины сверхпроводящих корреляций, переход в π -состояние обусловлен „магнетизмом“ S-слоя, а именно: дополнительным набегом фазы на переходе [32]. Так, если сопротивление SF-границы мало ($\pi T_C \gamma_B < 1$), но по-прежнему $\gamma_B H_{ex} \gg 1$, а γ_M мало, для критического тока получаем

следующее выражение:

$$J_C^{FM} \approx -2 \frac{T}{T_C} \sum_{\omega>0} (\gamma_B H_{ex} \Omega)^{-2} \left\{ \Delta_0^2 + \frac{\Delta_0^2}{\gamma_B^2 H_{ex}^2 \Omega^2} \times [\Delta_0^2 - 3\omega^2(1 + \gamma_B \Omega^2)] - 8\alpha_{SO} \gamma_B \Omega \omega (1 + \gamma_B \Omega) \right\}. \quad (17)$$

Видно, что учет спин-орбитального рассеяния (слагаемые $\sim \alpha_{SO}$) приводит к ослаблению тенденции перехода в π -состояние. В частности, при $\pi T_C \gamma_B = 2$, $T = 0.1 T_C$, $\alpha_{SO} = 0.01 \Delta_0$ и $H_{ex} = (3-5) \Delta_0$ вклад спин-орбитального рассеяния достигает 3–4%.

Если $\pi T_C \gamma_M \gg (1 + \pi T_C \gamma_B)$, для тока получим следующее выражение:

$$J_C^{FM} \approx 2 \frac{T}{T_C} \times \sum_{\omega>0} \frac{B^2 / (\gamma_M \omega)^2 [B^2 / (\gamma_M \omega)^2 + \omega^2 - H_{ex}^2 + A(\alpha_{SO})]}{[\omega^2 - H_{ex}^2 + B^2 / (\gamma_M \omega)^2]^2 + 4\omega^2 H_{ex}^2 + 2A(\alpha_{SO}) B^2 / (\gamma_M \omega)^2}, \quad (18)$$

где $A(\alpha_{SO}) = 8\alpha_{SO} \omega \gamma_B^2 H_{ex}^2 / [(1 + \gamma_B \Omega)^2 + \gamma_B^2 H_{ex}^2]$. Как и в предыдущем случае, при достаточно сильном обменном поле ($H_{ex} > \pi T_C$) критический ток меняет знак, т.е. контакт переходит в π -состояние. Спин-орбитальное рассеяние ослабляет эффекты обменного поля. Для контакта с параметрами $\pi T_C \gamma_M = 10$, $\pi T_C \gamma_B = 0.5$, $T = 0.1 T_C$, $\alpha_{SO} = 0.01 \Delta_0$ и $H_{ex} \approx \Delta_0$ это ослабление не превышает 1%.

б) Антипараллельная ориентация ферромагнитных слоев. Если сопротивление границы мало: $\pi T_C \gamma_B < 1$ ($\gamma_B H_{ex} \gg 1$), а плотность состояний в S-металле больше, чем в F-слое (сильный сверхпроводящий эффект близости), то для тока получим следующее выражение:

$$J_C^{AF} = 2 \frac{T}{T_C} \Delta_0 \times \sum_{\omega>0} \frac{1 - 4\Delta_0^2 \alpha_{SO} \omega (1 + \gamma_B \Omega) / \gamma_B \Omega H_{ex}^4}{\{[\omega^2(1 + \gamma_B \Omega)^2 + (\gamma_B \Omega H_{ex})^2]^2 / \Delta_0^2 + 4\omega^2(1 + \gamma_B \Omega)^2\}^{1/2}}. \quad (19)$$

В данной геометрии вклад спин-орбитального рассеяния в критический ток не превышает 0.5% при параметрах бислоя $\pi T_C \gamma_B = 0.5$, $\alpha_{SO} = 0.1 \Delta_0$, $H_{ex} = 5 \Delta_0$ и $T = 0.1 T_C$. Если же сопротивление SF-границы велико: $\pi T_C \gamma_B > 1$ ($\gamma_B H_{ex} \gg 1$), но по-прежнему $\pi T_C \gamma_M \ll 1$, амплитуда тока равна

$$J_C^{AF} \approx 2 \frac{T}{T_C} \times \sum_{\omega>0} \frac{\Delta_0^2}{\gamma_B^2 (\omega^2 + H_{ex}^2) \Omega^2} \left\{ 1 - \frac{4\alpha_{SO} \Delta_0^2 H_{ex}^2 \omega}{\gamma_B^2 \Omega^2 (\omega^2 + H_{ex}^2)^3} \right\}. \quad (20)$$

Оценка второго слагаемого в фигурных скобках при $\pi T_C \gamma_B = 2$, $T = 0.1 T_C$, $\alpha_{SO} = 0.1 \Delta_0$ и $H_{ex} \approx 2 \Delta_0$

показывает, что уменьшение критического тока из-за спин-орбитальных эффектов не превышает 1%. Если же сверхпроводящий эффект близости мал ($\pi T_C \gamma_M \gg (1 + \pi T_C \gamma_B)$), вычисления дают

$$J_C^{AFM} \approx 2 \frac{T}{T_C} \times \sum_{\omega>0} \frac{B^2 / (\gamma_M \omega)^2}{\{[\omega^2 - H_{ex}^2 + B^2 / (\gamma_M \omega)^2]^2 + 4\omega^2 H_{ex}^2 + 2A(\alpha_{SO}) B^2 / (\gamma_M \omega)^2\}^{1/2}}. \quad (21)$$

Анализ зависимости критического тока от обменного поля показывает, что при $\alpha_{SO} \rightarrow 0$ в данной геометрии существует интервал значений H_{ex} , в котором критический ток перехода растет [22,23,32]. По сравнению с предыдущей геометрией физика явления теперь несколько иная. Она не связана с суммарным набегом фазы на переходе (набег фаз на берегах перехода компенсируется), а обусловлена смещением особенностей в плотности квазичастичных состояний под влиянием обменного поля F-слоя и их перекрытием [23]. Процессы рассеяния, не сохраняющие спин электрона, ослабляют рост сверхтока.

Оценки, выполненные на основе выражений (16)–(21), показывают, что вклады спин-орбитальных эффектов в асимптотической области параметров не превышают нескольких процентов. Для более реалистичной области значений параметров бислоя анализ может быть выполнен только численно. Результаты численных расчетов амплитуды туннельного тока симметричного SFIFS-контакта показаны на рис. 1 для параллельной и антипараллельной ориентации намагниченности F-слоев. Зависимость амплитуды сверхтока от поля H_{ex} при малом эффективном параметре разрыва куперовских пар на SF-границе ($\gamma_M \ll 1$) иллюстрируется случаями хорошего (рис. 1, a) и плохого (рис. 1, c) электрического контакта слоев. Обратная ситуация — контакты с большим параметром разрыва пар вблизи SF-границы ($\gamma_M \gg 1$) — показана на рис. 1, b и d при хорошем и плохом электрическом контакте S- и F-слоев соответственно. Как и следовало ожидать, значение критического тока контакта сильно зависит от параметров H_{ex} , γ_M и γ_B . Видно, что при параллельной геометрии в некоторой области обменного поля происходит переход из состояния с нулевой фазой в π -состояние. Спин-орбитальное рассеяние подавляет тенденцию к переходу в π -состояние, причем это подавление имеет нелинейный характер. Максимум спин-орбитального вклада в критический ток расположен вблизи перехода в π -фазу, когда амплитуда основного вклада в сверхток (нулевое приближение по α_{SO}) меняет знак, проходя через нулевое значение, а поправки следующего порядка ($\sim \alpha_{SO}$), обусловленные „смешиванием“ состояний с противоположной ориентацией спина, еще растут. При дальнейшем увеличении обменного поля быстро убывают как амплитуда сверхтока, так и вклад спин-орбитальных эффектов.

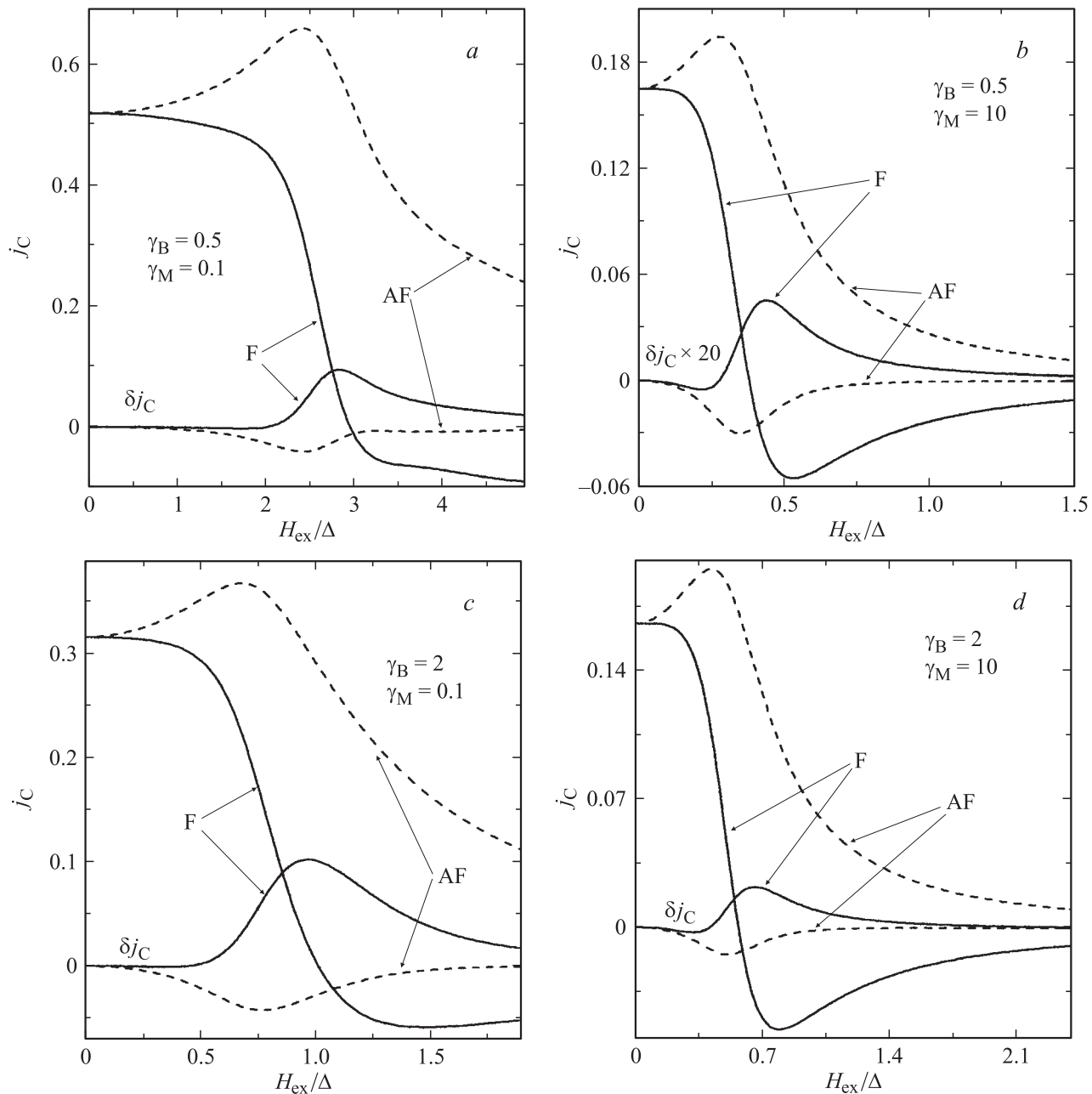


Рис. 1. Зависимость амплитуды сверхтока SFIFS-контакта j_C от обменного поля H_{ex} при параллельной (сплошные линии) и антипараллельной (штриховые линии) относительной ориентации обменных полей F-слоев. Показаны критический ток через контакт без учета спин-орбитального рассеяния и аддитивная добавка δj_C , обусловленная процессами спин-орбитального рассеяния. Температура перехода $T/T_C = 0.1$. Параметр спин-орбитального рассеяния $\alpha_{SO}/\Delta = 0.1$. Параметры SF-слоя: *a* — $\pi T_C \gamma_B = 0.5$, $\pi T_C \gamma_M = 0.1$; *b* — $\pi T_C \gamma_B = 0.5$, $\pi T_C \gamma_M = 10$; *c* — $\pi T_C \gamma_B = 2$, $\pi T_C \gamma_M = 0.1$; *d* — $\pi T_C \gamma_B = 2$, $\pi T_C \gamma_M = 10$.

При антипараллельной ориентации намагниченности F-слоев критический ток контакта, как и в случае параллельной геометрии, определяется параметрами бислоя. Контакт не переходит в π -фазу, но в некотором интервале обменных полей происходит усиление сверхтока. В соответствии с общей тенденцией ослабления эффектов обменного поля спин-орбитальное рассеяние подавляет это усиление. Максимум спин-орбитального вклада в критический ток расположен в области максимального

усиления тока. Полученный результат становится физически прозрачным, если учесть, что, как уже отмечалось, усиление критического тока происходит из-за перекрытия двух сингулярностей в плотности квазичастичных состояний. В пределе $T \rightarrow 0$ особенности в плотности состояний $\sim \sqrt{\epsilon}$ и амплитуда тока логарифмически расходится [21,23]. Спин-орбитальное рассеяние „размывает“ эти сингулярности и эффективно ослабляет аномальное усиление сверхтока. В этом воздействие

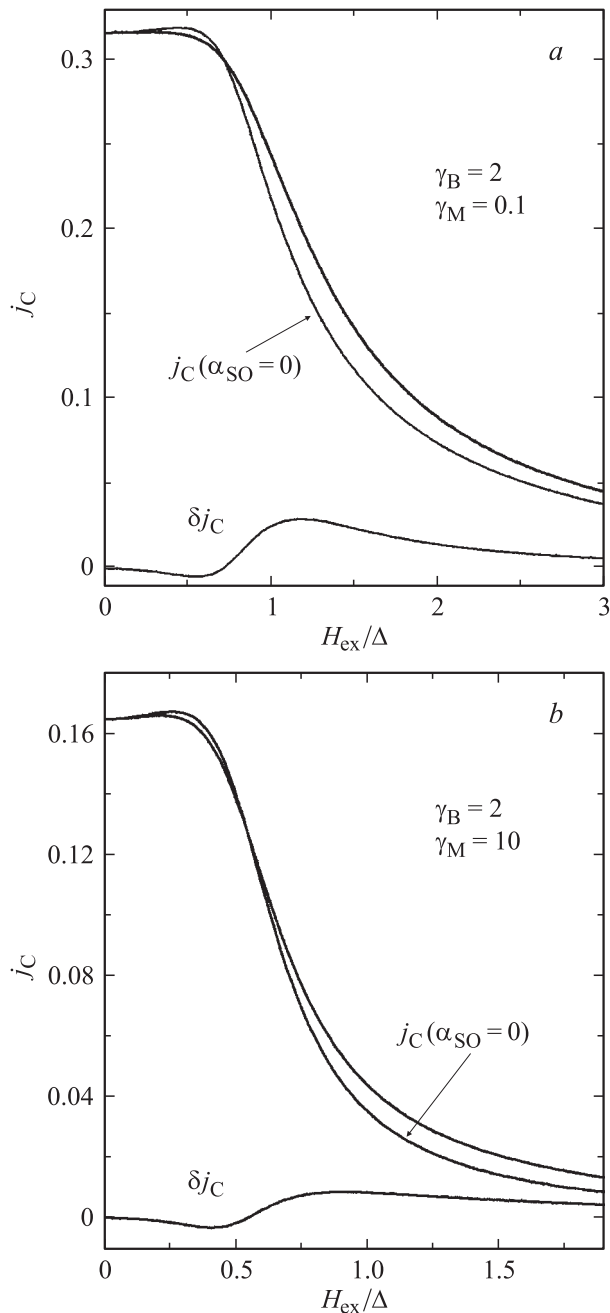


Рис. 2. Зависимость амплитуды критического тока несимметричного SFINS-контакта j_c от обменного поля H_{ex} ферромагнитного слоя. Показаны критический ток через контакт без учета спин-орбитального рассеяния, аддитивная добавка δj_c , обусловленная процессами спин-орбитального рассеяния, и полный ток через контакт. Температура перехода $T/T_C = 0.1$. Параметр спин-орбитального рассеяния $\alpha_{SO}/\Delta = 0.1$. Параметры бислоев: a — $\pi T_C \gamma_B = 2$, $\pi T_C \gamma_M = 0.1$ — сильный эффект близости; b — $\pi T_C \gamma_B = 2$, $\pi T_C \gamma_M = 10$ — слабый эффект близости.

спин-флип процессов аналогично влиянию температуры: температурное размытие столь существенно, что теория предсказывает [21,23,33] усиление сверхтока только в области очень низких температур.

с) Несимметричные SFINS-контакты. Результаты предыдущего раздела легко обобщаются на случай несимметричного контакта $(SF)_L I (FS)_R$, в том числе и на случай SFINS-контактов со спин-орбитальным рассеянием только в F-слое. Не останавливаясь на аналитических выражениях, приведем результаты численных расчетов некоторых предельных случаев для SFINS-переходов.

На рис. 2 показаны зависимости амплитуды джозефсоновского тока для SFINS-контакта от обменного поля магнитного слоя. Рис. 2, a соответствует ситуации с малым эффективным параметром разрыва куперовских пар на SF-границе ($\gamma_M \ll 1$), рис. 2, b — обратному предельному случаю ($\gamma_M \gg 1$). Влияние процессов спин-орбитального рассеяния в F-слое на ток в SFINS-переходе на первый взгляд достаточно необычно: спин-флип процессы увеличивают сверхток. Обусловлено это тем, что, как уже отмечалось, процессы с перевертыванием спина приводят к осцилляции (с характерной частотой $1/\tau_{SO}$) знака эффективного обменного поля, действующего на куперовскую пару. В результате влияние поля на пару, приводящее к ее распаду, уменьшается и ток возрастает.

4. Заключение

Исследовано влияние процессов рассеяния, не сохраняющих проекцию спина электрона, на эффект близости между массивным сверхпроводником и тонким слоем нормального ферромагнитного металла. Такие процессы могут быть индуцированы спин-орбитальным взаимодействием электронов проводимости с магнитными ионами, сильным электрическим полем на границе контакта двух металлов, некоторыми другими механизмами. Найдены амплитуды сверхпроводящего параметра порядка в условиях, когда оба металла отвечают так называемому „грязному“ пределу. Полученные выражения используются для вычисления критического тока туннельных SFIFS- и SFINS-контактов при слабом и сильном эффекте близости и произвольном качестве электрического контакта между S- и F- или S- и N-слоями. Критический ток рассчитан как функция величины обменного поля, прозрачности границы, величины эффекта близости и интенсивности процессов рассеяния, не сохраняющих проекцию спина электрона. Показано, что процессы спин-орбитального рассеяния могут существенно ограничить возможность экспериментального наблюдения эффектов обменного поля в туннельных характеристиках SFIFS-контактов.

Приложение. Уравнения Узаделя с учетом спин-орбитального рассеяния

Как известно (см., например, [29]), для описания сверхпроводимости металлов с немагнитными примесями высокой концентрации Узадель [28] получил уравне-

ния, которые являются изотропным пределом уравнений Эйленберга. Обобщим уравнения Узалея на случай „грязных“ металлов с центрами спин-орбитального рассеяния. Будем следовать изложению [29] и в качестве исходных возьмем уравнения Эйленберга в виде

$$i v_0 \mathbf{n} \nabla_R \xi_\omega + [\bar{\omega}, \xi_\omega], \quad (\text{П1})$$

где квадратные скобки обозначают коммутатор; \mathbf{n} — единичный вектор, характеризующий направление движения электрона на Ферми-сфере; $v_0 \approx v_F$. Матрица ξ_ω образована нормальными и аномальными функциями Грина

$$\xi_\omega = \begin{pmatrix} G & \tilde{F} \\ -F & -\tilde{G} \end{pmatrix},$$

которые удовлетворяют нормировке вида $G^2 - F\tilde{F} = -1/4$. Введем изотропную функцию $\xi_\omega^0(\mathbf{R}) = \int \xi_\omega(\mathbf{R}, \mathbf{n}) d\Omega / 4\pi$, зависящую от положения центра куперовской пары, и будем считать, что функцию $\xi_\omega(\mathbf{R}, \mathbf{n})$ можно найти, вычисляя поправки к изотропной части. В первом приближении

$$\xi_\omega(\mathbf{R}, \mathbf{n}) = \xi_\omega^0(\mathbf{R}) + \mathbf{n} \bar{\Gamma}_\omega(\mathbf{R}), \quad (\text{П2})$$

где $\bar{\Gamma}_\omega \ll \xi_\omega^0$. Для матрицы $\bar{\omega}_\pm$ имеем

$$\begin{aligned} \bar{\omega}_\pm &= i(\omega + iH_{\text{ex}})\sigma_Z - \hat{\Delta} - \frac{1}{\tau_0} \int \xi_\pm(\mathbf{R}, \mathbf{n}) \frac{d\Omega}{4\pi} \\ &\quad - \frac{3}{\tau_{\text{SO}}} \int \xi_\mp(\mathbf{R}, \mathbf{n}) \sin^2(\theta - \theta') \frac{d\Omega}{4\pi}, \\ \hat{\Delta} &= \begin{pmatrix} 0 & \Delta \\ -\Delta^* & 0 \end{pmatrix}, \quad \sigma_Z = \begin{pmatrix} 1 & 0 \\ 0 & -1 \end{pmatrix}. \end{aligned}$$

Слагаемое $\sim 1/\tau_0$ описывает рассеяние на немагнитных примесях, а слагаемое $\sim 1/\tau_{\text{SO}}$ — дополнительный вклад от спин-орбитального рассеяния. С учетом (П2) интегрирование дает

$$\begin{aligned} \bar{\omega}_\pm &= i(\omega + iH_{\text{ex}})\sigma_Z - \hat{\Delta} \\ &\quad - \frac{1}{\tau_0} \xi_\pm^0 - \frac{1 + \cos^2 \theta}{\tau_{\text{SO}}} \xi_\mp^0 - \frac{3\pi}{16\tau_{\text{SO}}} \Gamma_\mp \sin 2\theta. \end{aligned} \quad (\text{П3})$$

Подставим (П2) и (П3) в уравнение Эйленберга (П1) и снова усредним по углам. Получим

$$\begin{aligned} \frac{i v_0}{3} (\nabla_R \bar{\Gamma}_\pm(\mathbf{R})) + \left[i(\omega + iH_{\text{ex}})\sigma_Z - \hat{\Delta} \right. \\ \left. - \frac{1}{\tau_0} \xi_\pm^0 - \frac{4}{3\tau_{\text{SO}}} \xi_\mp^0, \xi_\pm^0 \right] - \frac{3\pi^2}{64\tau_{\text{SO}}} [\bar{\Gamma}_\mp, \bar{\Gamma}_\pm]. \end{aligned} \quad (\text{П4})$$

Далее умножим уравнение (П1) на \mathbf{n} и снова усредним по телесному углу:

$$\begin{aligned} i v_0 (\nabla_R \xi_\pm^0(\mathbf{R})) + \left[i(\omega + iH_{\text{ex}})\sigma_Z - \hat{\Delta} \right. \\ \left. - \frac{1}{\tau_0} \xi_\pm^0 - \frac{8}{5\tau_{\text{SO}}} \xi_\mp^0, \Gamma_\pm \right] - \frac{9\pi^2}{64\tau_{\text{SO}}} [\bar{\Gamma}_\mp, \xi_\pm^0]. \end{aligned} \quad (\text{П5})$$

В нашем случае $1/\tau_0 \gg \omega$, H_{ex} , $1/\tau_{\text{SO}}$. Поэтому из уравнения (П5) следует

$$\bar{\Gamma}_\pm = -2il \xi_\pm^0 \nabla_R \xi_\pm^0. \quad (\text{П6})$$

Подставим выражение (П6) в уравнение (П4). В результате приходим к замкнутому относительно ξ_\pm^0 уравнению

$$D \nabla_R \{ \xi_\pm^0 (\nabla_R \xi_\pm^0) \} + \left[i(\omega \pm iH_{\text{ex}})\sigma_Z - \hat{\Delta} - \frac{4}{3\tau_{\text{SO}}} \xi_\mp^0, \xi_\pm^0 \right], \quad (\text{П7})$$

где $D = v_0 l / 3$ — коэффициент диффузии. После замены $G \rightarrow G/2i$, $F \rightarrow F/2i$, $\tilde{F} \rightarrow -\tilde{F}/2i$, $\Delta \rightarrow i\Delta$ уравнение (П7) переходит в

$$\begin{aligned} \frac{D}{2} (F_\pm \nabla^2 G_\pm - G_\pm \nabla^2 F_\pm) + \omega_\pm F_\pm - \Delta^* G_\pm \\ = \frac{2}{3\tau_{\text{SO}}} \{ G_\pm F_\mp - G_\mp F_\pm \}. \end{aligned} \quad (\text{П8})$$

При $\tau_{\text{SO}} \rightarrow \infty$ эта система приобретает обычный вид уравнения Узалея [29].

Как отмечалось выше, удобно учесть нормировку функций Грина явно и ввести модифицированные функции Узалея. Перейдя в уравнении (П8) к таким функциям, получим

$$\begin{aligned} \frac{D}{2} \frac{1}{\omega_\pm G_\pm} \nabla (G_\pm^2 \nabla \Phi_\pm) \\ = \Phi_\pm - \Delta^* - \frac{2}{3\tau_{\text{SO}}} G_\mp \left(\frac{\Phi_\mp}{\omega_\mp} - \frac{\Phi_\pm}{\omega_\pm} \right). \end{aligned} \quad (\text{П9})$$

Это выражение и использовано нами для описания сверхпроводящих свойств ферромагнитного металла с центрами спин-орбитального рассеяния (см. (2)).

Список литературы

- [1] E.L. Wolf. Principles of Electron Tunneling Spectroscopy. Oxford University Press. (1985).
- [2] А.А. Голубов, М.Ю. Куприянов. ЖЭТФ **96**, *10*, 1420 (1989).
- [3] А.А. Golubov, E.P. Houwman, J.G. Gisbertsen, M. Krasnov, J. Flokstra, H. Rogalla, M.Yu. Kuprijanov. Phys. Rev. B **51**, *2*, 1073 (1995).
- [4] А.А. Golubov, M.Yu. Kuprijanov. J. Low Temp. Phys. **70**, *1/2*, 83 (1988).
- [5] T. Tokuyasu, J.A. Sauls, D. Rainer. Phys. Rev. B **38**, *13*, 8823 (1988).
- [6] V.N. Krivoruchko, E.A. Koshina. Phys. Rev. B **66**, *1*, 014 521 (2002).
- [7] K. Halterman, O.T. Valls. Phys. Rev. B **69**, *1*, 014 517 (2004).
- [8] А.И. Буздин, Л.Н. Булаевский, С.В. Панюков. Письма в ЖЭТФ **35**, *4*, 147 (1982).
- [9] А.И. Буздин, М.Ю. Куприянов. Письма в ЖЭТФ **53**, *6*, 308 (1991).
- [10] E.A. Demler, G.B. Arnold, M.R. Beasley. Phys. Rev. B **55**, *22*, 15 174 (1997).

- [11] Ю.А. Изюмов, Ю.Н. Прошин, М.Г. Хусаинов. УФН **45**, 2, 109 (2002).
- [12] V.V. Ryazanov, V.A. Oboznov, A.Yu. Rusanov, A.V. Veretennikov, A.A. Golubov, J. Aarts. Phys. Rev. Lett. **86**, 11, 2427 (2001).
- [13] T. Kontos, M. Aprili, J. Lesueur, X. Grison. Phys. Rev. Lett. **86**, 2, 304 (2001).
- [14] V.V. Ryazanov, V.A. Oboznov, A.V. Veretennikov, A.Yu. Rusanov. Phys. Rev. B **65**, 2, R 020 501 (2002).
- [15] Y. Blum, A. Tsukernik, M. Karpovski, A. Palevski. Phys. Rev. Lett. **89**, 18, 187 004 (2002).
- [16] T. Kontos, M. Aprili, J. Lesueur, F. Genet, B. Stephanidis, R. Boursier. Phys. Rev. Lett. **89**, 13, 137 007 (2002).
- [17] W. Guichard, M. Aprili, O. Bourgeois, T. Kontos, J. Lesueur, P. Gandit. Phys. Rev. Lett. **90**, 16, 167 001 (2003).
- [18] I.A. Garifullin, D.A. Tikhonov, N.N. Garifyanov, L. Lazar, Yu.V. Goyunov, S.Ya. Khlebnikov, L.A. Tagirov, K. Westerhold, H. Zabel. Phys. Rev. B **66**, 2, R 020 505 (2002).
- [19] A.A. Golubov, M.Yu. Kupriyanov, E. Il'ichev. Rev. Mod. Phys. **76**, 2, 411 (2004).
- [20] E.A. Koshina, V.N. Krivoruchko. Phys. Rev. B **63**, 22, 224 515 (2001).
- [21] F.S. Bergeret, A.F. Volkov, K.B. Efetov. Phys. Rev. Lett. **86**, 14, 3140 (2001).
- [22] V.N. Krivoruchko, E.A. Koshina. Phys. Rev. B **64**, 17, 172 511 (2001).
- [23] A.A. Golobov, M.Yu. Kupriyanov, Ya.V. Fominov. Письма в ЖЭТФ **75**, 3–4, 223 (2002).
- [24] А. Буздин. Письма в ЖЭТФ **78**, 9, 1073 (2003).
- [25] В.Н. Лисин, Б.М. Хабибуллин. ФТТ **17**, 6, 1598 (1975).
- [26] S. Oh, Y.-H. Kim, D. Youm, M.R. Beasley. Phys. Rev. B **63**, 5, 052 501 (2000).
- [27] V.N. Krivoruchko, R.V. Petryuk. Phys. Rev. B **66**, 13, 134 520 (2002).
- [28] K. Uzadel. Phys. Rev. Lett. **25**, 8, 507 (1970).
- [29] А.В. Свидзинский. Пространственно-неоднородные задачи теории сверхпроводимости. Наука, М. (1982).
- [30] Е.А. Кошина, В.Н. Криворучко. ФНТ **26**, 2, 157 (2000).
- [31] М.Ю. Куприянов, В.Ф. Лукичев. ФНТ **8**, 10, 1045 (1982).
- [32] Е.А. Кошина, В.Н. Криворучко. ФНТ **29**, 8, 858 (2003).
- [33] X. Li, Z. Zheng, D.Y. Xing, G. Sun, Z. Dong. B **65**, 13, 134 507 (2002).